

Gaussian 곡률 오차 추정을 이용한 Mesh 간략화

임 수 일 김 선 정 김 창 혼

고려대학교 컴퓨터학과

Gaussian Curvature Error Estimation for Mesh Simplification

Sooil Lim Sun-Jeong Kim Chang-Hun Kim

Department of Computer Science & Engineering, Korea University

요약

본 논문은 mesh 간략화를 위한 새로운 Gaussian 곡률 오차 추정 방법을 제안한다. Gaussian 곡률은 임의의 형상을 갖는 삼각화 된 다면체 표면에 대하여 위상과 기하학적 정보를 angle과 face의 관계로 정형화하여, vertex에 관한 곡률로 근사하여 표현한다. 간략화 방법은 지역적 영상으로부터 전체적인 형상을 추정한 후, 적절한 curvature criteria로 간략화가 될 vertex를 선택하고 제거한다. 제거된 vertex에 의해 생성된 hole은 곡률에 기반하여 삼각화하고 곡률이 변화되는 vertex들의 Gaussian 곡률 오차를 계산한다. 각 간략화 level마다 최대 Gaussian 곡률 오차를 계산하므로, 사용자는 Gaussian 곡률 오차 추정으로 원하는 간략화 level을 지정할 수 있다. 또한 주어진 오차 안에서 vertex 뿐만 아니라 edge나 face의 제거로, 간략화 되는 영역을 확산시켜 필요한 위상과 기하학적 정보를 유지하는 간략화를 할 수 있다.

1 서론

Range scanner를 이용한 기하학적 모델링에서는 range image를 reconstruction하여 삼각화 된 다면체 표면으로 임의의 형상을 가지는 물체를 표현한다. 다면체의 표면의 특징은 표면 곡률로 설명할 수 있으나, 정형화와 근사가 충분히 되지 않아 간략화에 사용되기 용이하지 않았고[5,15], 응용 분야에 따라서도 표면 곡률과 곡률 근사는 충분하게 적용되어 사용되지 못하고 있다[7,10]. 간략화의 대부분은 전체적인 형상의 정확성에 주안점을 두고 있으며 표면의 불연속적인 특장들의 표현이 부족하여 곡률 근사에 의한 feature edge의 유지와 구조적 조작성이 설명되지 않았다[4,8,14]. 또한, 다른 간략화 방법 중에서는 range scanner의 불가피한 부정확성으로 형상의 위상과 기하 정보는 정확한 수치해석적 model fitting에 의존하기 어렵다[6]. Gaussian 곡률 근사와 boundary 및 feature edge의 적절한 표현은 위상과 기하학적 정보를 충분히 사용하여 나타낼 수 있으며, 곡률에 의한 삼각화는 간략화 되는 삼각형에 대해 곡률을 최대로 유지할 수 있는 edge들의 형태를 결정할 수 있다. 또한 Gaussian 곡률 오차 추정을 이용한 mesh 간략화는 parameterization과[12] multitriangulation[14] 그리고 wavelet과 subdivision을 사용하는 multiresolution modeling에[3] 쉽게 적용된다. 본 논문은 Gaussian 곡률을 정확하게 근사하고, 그 곡률에 기반하여 간략화 및 곡률 오차를 추정하여 간략화 과정에서 곡률을 최대로 유지하며, 곡률 오차를 이용하여 간략화 level 조정이 가능하다.

2 Gaussian 곡률 근사

임의의 형상을 나타내는 다면체의 표면의 3D mesh는 piecewise linear 한 삼각형 mesh의 표현이다. 이것은 simplicial complex로서 그 위상과 기하학적 구조화로 vertex, edge, face와 그들의 neighborhood 등으로 기술된다[10,12] 한 개의 face로 연결된 edge를 boundary edge, 두개의 face로 연결된 edge를 surface edge라 하고, 각각 그 위에 있는 vertex를 boundary vertex, surface vertex라 부른다. 표면은 boundary edge의 유무로 bordered와 closed surface로 구분한다.

2.1 Gaussian 곡률

한 vertex의 Gaussian 곡률은 그 vertex를 연결하는 edge에 있는 angle과 face와 관계가 있다[1]. 미분 기하[13]의 Gauss-Bonnet theorem에 의하면

$$\sum_{i=0}^k \int_{f_i} K_a dt + \int_X K dM + \sum_{i=0}^k \theta_i = 2\pi \quad (1)$$

여기서 k_a 는 geodesic 곡률이고 K 는 Gaussian 곡률, $X : R \rightarrow M$ 는 mapping function, θ_i 는 경계의 외각이다. 주어진 경계의 geodesic 곡률은 영이므로

$$\int_X K dM = 2\pi - \sum_{i=0}^k \theta_i, \quad (2)$$

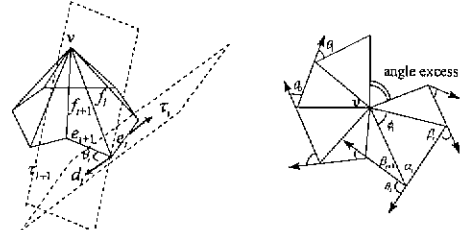


그림 1 Gaussian 곡률의 근사

그림 1과 같이 외각과 vertex 중심에서의 사이 각에 의해

$$\int_X K dM = 2\pi - \sum_{i=0}^k \phi_i \quad (3)$$

한편, 표면에 대한 적분을 vertex를 이웃하는 face들의 면적의 합으로 볼 수 있으므로 $A_K = 2\pi - \sum_{i=0}^k \phi_i$,

여기서 $A = \sum_0^k f_i$ 는 각 삼각형 면적들의 합이다.

2.2 Boundary Vertex에서의 곡률 극사

한 vertex의 모든 이웃의 face가 둘러쌓고 있는지 확인하는 boundary edge 검사를 하면 bordered surface를 찾을 수 있다. boundary vertex의 곡률은 수평에 대한 boundary edge가 이루는 각의 차이와 boundary에서 표면쪽으로의 영역이 만들어내는 삼각형들의 합으로 Gaussian 곡률 극사를 할 수 있고, 그 식은 다음과 같다.

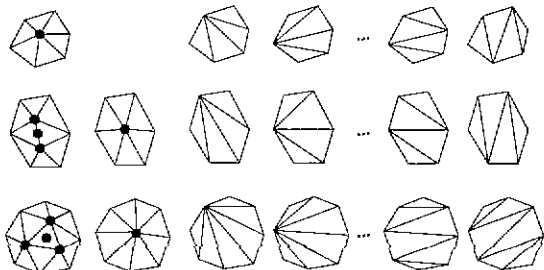
$$AK = \pi - \sum_{i=0}^k \phi_i \quad \dots \quad (5)$$

2.3 High Curvature and Feature Edge

삼각화 된 다면체 표면은 매끄러운 표면들의 이산적 표현이다. 이러한 이산적인 자료로부터 원래의 표면의 특징을 구분하는 것은 쉽지 않다. High curvature의 vertex나 불연속성을 구분하는 것은 일정 값 이상의 Gaussian 곡률이나 평균 곡률과 이면각으로 나타낼 수 있다. 이것들은 curvature criteria에 의하여 간략화 될 때 변화하게 된다. 그러므로 이 변화를 이용하여 오차로 적용하면 형상을 적절하게 추정하고 관리할 수 있다. 다면체의 표면을 표현하는 과도한 점들은 형상을 보존하면서 LOD(Level of Detail)를 나타낼 때까지의 점들로 간략화 할 수 있다. 임의로 결정하는 이면각 이상에서의 edge들을 feature edge라 하고, feature edge는 Gaussian 곡률의 값을 감소시키므로 이면각을 이루는 각의 밀각을 계산하여 그 곡률에서 간략화 하여야 한다 한 vertex에서 이면각이 많이 나타나면 날수록, 이면각의 밀각이 크면 클수록 Gaussian 곡률은 달라진다. 그러므로 이면각의 결정은 반복하여 적절한 값을 취하고 feature edge는 surface edge에서 분리하여 boundary edge와 같이 취급하여 간략화 한다.

2.4 Gaussian 곡률 오차와 간략화

간략화는 그 대상과 방법이 다양하며 많은 고려 사항들에 의하여 성능이 결정된다[14]. 과도한 vertex들의 간략화는 곡률의 오차가 심하게 변화하기 전 단계까지 근사 곡률에 사용되는 삼각형 면적의 합을 일정 비율로 유지하고 그 후는 선형적으로 변경시킨다. 본 논문에서는 먼저 boundary와 feature edge를 확인하고 Gaussian 근사 곡률을 정렬하여 vertex collapse를 [15] 하며 삼각화는 최소 근사 곡률을 이용하여 edge를 연결하고 주어진 오차가 되면 종료한다. 한편, boundary 및 feature edge 내의 이웃 vertex가 collapse 되면 boundary 및 feature edge를 간략화 한다.



(점 : 대표 vertex, edge에서는 중점, face에서는 무게 중심)
그림 2 간략화 속도의 향상을 위한 곡률 오차의 활용

간략화의 속도를 향상시키기 위해서는 vertex, edge, face의 이웃을 곡률 오차로 확인하고 이를 대표하는 vertex에 대해 vertex의 곡률을 계산한다. 작은 곡률과 오차를 갖는 vertex나, edge, face는 제거되고, hole은 곡률을 고려하여 삼각화 한다. 그림 2와 같이 edge의 경우는 중점을, face는 무게 중심의

vertex가 대표 vertex가 될 수 있고 이 vertex에 대해 곡률을 계산하여 edge나 face를 제거하므로 보다 많은 face들을 간략화 할 수 있다.

3 곡률에 기반한 삼각화

vertex collapse하여 그 vertex가 없는 다각형의 영역을 만들면 그 이웃의 vertex들로서 연결되는 edge로서 그 vertex의 곡률이 표현되었다고 볼 수 있다. edge flip[2]이나 다른 간략화에 비해서 새로이 연결되는 edge를, 간략화 되는 vertex를 경유하는 최소의 곡률을 가지는 vertex 할당한다. 그리하여 각과 면적으로 나타나는 수정된 곡률들을 정렬하여, 간략화 되었을 때 최대한으로 곡률이 유지되도록 최소 곡률을 확인하는 연결을 한다. 반복해서 모든 edge들을 연결하고 다음 간략화 level을 준비한다. 재삼각화 하려는 다각형의 영역이 concave 할 때의 삼각화를 하는 방법과[16] convex로 나누는 local greedy algorithm[9]을 복합 수정하여 사용하고 최소의 convex의 다각형이 되도록 나누고, 그 convex 다각형들에서 최소 곡률 극사에 의한 edge의 연결 방법을 반복한다.

3.1 다각형 영역의 구별과 edge의 연결

- ① 간략화 기준에 의하여 한 vertex를 제거하고 다각형의 영역을 만든다.
- ② convex 다각형 검사를 하여 convex이면 최소 곡률 극사에 의한 edge의 연결을 한다.
- ③ convex가 아닌 concave일 때에는 concave를 삼각화 한 것과 수정된 local greedy algorithm을 사용하여 이웃하는 face를 하나씩 추가하면서 convex 다각형화를 한다.
- ④ 만들어진 각각의 convex 다각형에서 최소 곡률 극사에 의한 edge의 연결을 한다

3.2 최소 곡률 극사에 의한 edge의 연결

- ① 제거되는 1개의 vertex와 이웃의 2개의 vertex를 수정된 곡률 극사를 사용하여 정렬하고 최소 곡률을 가지는 edge부터 그림 3와 같이 연결한다.
- ② 같은 곡률을 가지는 edge는 vertex 번호순으로 한다.
- ③ 남은 다각형에서 1을 다시 하고 삼각형인지 확인하고 끝낸다

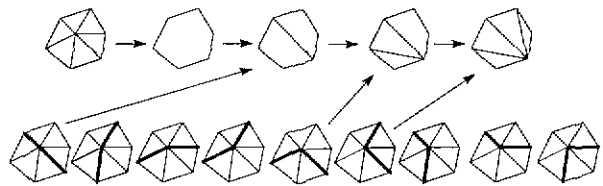


그림 3 최소 곡률 극사에 의한 edge의 연결

4 Gaussian 곡률 오차 추정

곡률의 측정이 정확하면 할수록 오차의 정도로 직접 사용할 수 있다. 간략화 후의 곡률 변화는 각과 그 면적의 개별적 차이로 간략화 계어에 중요한 척도로 사용될 수 있다.



(실선 : 제안 방법, 절선 : 기존 방법)
그림 4 곡률을 사용한 곡률 오차

곡률 근사에 의한 vertex에서의 각과 면적의 변화를 나타내면 한 vertex의 간략화는 그 vertex의 곡률이 이웃하는 다른 vertex로서 대변할 수 있으므로 이웃하는 vertex의 곡률로 나누어진다. 그럼 4의 예에서 보는 것처럼 이때의 곡률 오차는

$$\begin{aligned} KV_0^1 &= \frac{2\pi - (\angle V_1V_0V_2 + \angle V_0V_3V_1 + \angle V_2V_0V_4 + \angle V_3V_0V_4)}{\Delta V_1V_0V_2 + \Delta V_1V_0V_3 + \Delta V_2V_0V_4 + \Delta V_3V_0V_4} \\ KV_1^1 &= \frac{2\pi - \angle V_{p1} - (\angle V_0V_1V_2 + \angle V_0V_1V_3)}{\Delta V_{p1} + \Delta V_0V_1V_2 + \Delta V_0V_1V_3} \\ KV_2^1 &= \frac{2\pi - \angle V_{p2} - (\angle V_0V_2V_1 + \angle V_0V_2V_4)}{\Delta V_{p2} + \Delta V_0V_2V_1 + \Delta V_0V_2V_4} \\ KV_3^1 &= \frac{2\pi - \angle V_{p3} - (\angle V_0V_3V_1 + \angle V_0V_3V_4)}{\Delta V_{p3} + \Delta V_0V_3V_1 + \Delta V_0V_3V_4} \\ KV_4^1 &= \frac{2\pi - \angle V_{p4} - (\angle V_0V_4V_2 + \angle V_0V_4V_3)}{\Delta V_{p4} + \Delta V_0V_4V_2 + \Delta V_0V_4V_3} \quad (6) \\ KV_1^2 &= \frac{2\pi - \angle V_{p1} - (\angle V_2V_1V_4 + \angle V_3V_1V_4)}{\Delta V_{p1} + \Delta V_2V_1V_4 + \Delta V_3V_1V_4} \\ KV_2^2 &= \frac{2\pi - \angle V_{p2} - (\angle V_1V_2V_4)}{\Delta V_{p2} + \Delta V_1V_2V_4} \\ KV_3^2 &= \frac{2\pi - \angle V_{p3} - (\angle V_1V_3V_4)}{\Delta V_{p3} + \Delta V_1V_3V_4} \\ KV_4^2 &= \frac{2\pi - \angle V_{p4} - (\angle V_1V_4V_2 + \angle V_1V_4V_3)}{\Delta V_{p4} + \Delta V_1V_4V_2 + \Delta V_1V_4V_3} \end{aligned}$$

KV_i^j 는 vertex i 와 level j 에서의 근사 곡률, KV_0^1 은 vertex 0, level 1에서의 근사 곡률이고 제거되는 vertex이다. $\angle V_{pi}, \Delta V_{pi}$ 는 vertex i 에서 그 이전의 각과 면적이다. level 1과 level 2 사이의 곡률 오차를 $\varepsilon_{12} = \max A$ 라고 하면 여기서

$$A = \{ |KV_1^1 - KV_2^1|, |KV_2^1 - KV_3^1|, |KV_3^1 - KV_4^1|, |KV_4^1 - KV_2^2| \} \quad (7)$$

그러므로 전체의 곡률 오차는 다음과 같이 된다.

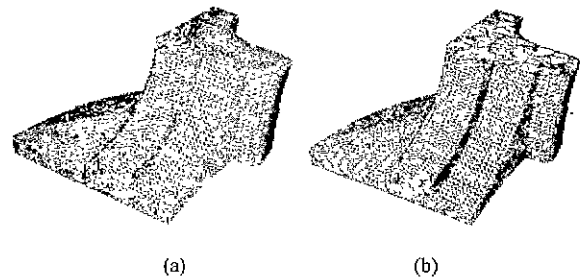
$$\varepsilon_t = \varepsilon_{12} = \frac{\max |KV_1^1 - KV_2^1|}{\max (KV_1^1, KV_2^1)} \quad (8)$$

간략화 정도를 확인하는 최도로서 그 기하학적 모양과 유사한 정도를 표시하는 Hausdorff distance error metric을 사용하면 전체적으로 간략화 되는 vertex들을 확인해야 하며 지역적으로는 관련 있는 vertex의 half angle plan[11]을 찾아야 한다. 그러나 Gaussian 곡률 오차 추정을 사용하면 간략화에서 영향을 받는 vertex들과 간략화 정도를 동시에 알 수 있다.

5 결론 및 향후 연구

Mesh 표면을 Gaussian 곡률로 근사시키고, 곡률에 따라 간략화 될 vertex를 선택한 다음, 제거된 vertex에 생성된 hole은 곡률을 최대로 유지할 수 있도록 edge를 선택하여 삼각화하면 최대로 곡률을 유지하며 간략화가 가능하다. 또한 그림 5에서 보는 것처럼 곡률이 작은 vertex가 먼저 제거되므로 간략화 level에서 발생되는 곡률 오차를 추정하여 간략화 정도를 제어할 수 있다. 그 결과 곡률 오차에 기반하여 남아있는 vertex에 대한 적절한 edge의 연결이 간략화 지역을 간단하게 확대시킬 수 있어서 원래 형상의 위상과 기하학적 정보를 간략화 각 level에서도 충실히 보존하여 간략화 속도 향상 및 제어될 수 있다. 향후 연구는 한 vertex의 이면각과 edge를 사용한 평균 곡률 및 보존 곡률의 근사, 곡률 절편의 제조정 최소화를 통하여 정밀도를 증가시키고 LOD의 시작점을 자

동으로 확인하여 간략화의 선형적 제어를 한다. 또한, Hausdorff distance와 비교하여 곡률 오차 추정만으로도 우수한 단체의 표면 간략화임을 보인다.



(a) original(12946 faces), (b) simplification 10%(11664 faces)

그림 5 간략화의 결과

6 참고 문헌

- [1] V. Borrelli. Courbures Discretes. Master's thesis, Universite Claude Bernard-Lyon I, 1993
- [2] A. Ciampalini, P. Cignoni, C. Montani, and R. Scopigno. Multiresolution decimation based on global error Technical Report C96-021, CNUCE-C.N.R., Pisa, Italy, July 1996
- [3] M. Eck, T. DeRose, T. Duchamp, H. Hoppe, M. Lounsbery, and W. Stuetzle. Multiresolution Analysis of Arbitrary Meshes. Computer Graphics(SIGGRAPH '95 Proceedings), 173-182, August 1995.
- [4] C. Erikson. Polygonal Simplification: An Overview. Technical Report TR-96-016, University of North Carolina - Chapel Hill, 1996
- [5] B. Falcidieno and M. Spagnuolo. Geometric Reasoning for the Extraction of Surface Shape Properties. In D. Thalmann and N. M. Thalmann, editors, Communication with Virtual Worlds(Proc CGI'93), pages 166-178. Springer-Verlag, 1993
- [6] R. E. Fayek. 3D Surface Modeling Using Hierarchical Topographic Triangular Meshes. Ph. D. Thesis, University of Waterloo, 1996.
- [7] B. Hamann, A Data Reduction Scheme for Triangulated Surfaces. Computer Aided Geometric Design, 11(2):197-214, April 1994.
- [8] P. S. Heckbert and M. Garland. Survey of Polygonal Surface Simplification Algorithms. Technical Report, Carnegie Mellon University, 1997.
- [9] P. Hinken and C. Hansen. Geometric Optimization In Proc. Visualization '93, pages 189-195. San Jose, CA, October 1993.
- [10] H. Hoppe. Surface Reconstruction from Unorganized Points, Ph. D. Thesis, University of Washington, 1994.
- [11] R. Klein, G. Liebich, and W. Strasser. Mesh Reduction with Error Control. In R. Yagel, editor, Visualization 96. ACM, November 1996.
- [12] A. W. F. Lee, W. Sweldens, P. Schroeder, L. Cowsar, and D. Dobkin. MAPS: Multiresolution Adaptive Parameterization of Surfaces, SIGGRAPH '98, 1998
- [13] B. O'Neill. Elementary Differential Geometry Second Edition, Academic Press, USA, 1997
- [14] E. Puppo and R. Scopigno. Simplification, LOD and Multiresolution - Principles and Applications. In EUROGRAPHICS'97 Tutorial Notes(ISSN 1017-4656). Eurographics Association, Aire-la-Ville(CH), 1997 (PS97 TN4).
- [15] W. J. Schroeder, J. A. Zarge, and W. E. Lorensen. Decimation of Triangle Meshes Computer Graphics (SIGGRAPH '92 Proceedings), 26(2):65-70, July 1992.
- [16] P. Veron and J. C. Leon. Static polyhedron simplification using error measurements Computer-Aided Design, Vol. 29, No. 4, pp. 287-298, Elsevier Science Ltd., 1997.